

九州大学工学部 正員 上田年祐古
九州産業大学工学部 正員 口杉尾 哲

1. まえがき

海岸付近の地盤における海水の浸透侵入を防止する方法として、淡水注入工法があるが、本報は、昨年度の井戸の先端から淡水を注入する場合に引き続²⁾いて、上面が水平で均一な透水性の海水^{飽和地盤}中に、先端部分にストレーナーをもつ井戸から注入する場合について検討を行なった。解析は、前報と同様に、井戸からの淡水の流出流れに、地盤中の海水をおさげて淡水の垂直上向等速流と重ね合わせる並列的手段を用ひて行なう。この結果を扇形水槽による砂モデル実験結果と比較した。

2. 定常状態の解析

図-1の井戸の底面と側壁からの淡水の流出流れを、回転軸(y軸)上に流出点を連ねた流出線源(Line Source)³⁾から、地表面に離して対称な位置に仮想した同様の流入線源(Line Sink)へ向うポテンシャル流と考えて解析する。引き流出線源の位置を $y = -a_1 \sim -a_2$ の区间にとり、井戸からの注入量を Q 、垂直上向等速流のポテンシャル勾配を $-mRE$ とすると、図-1の淡塩界面内部の流れは次式で表わされる。

$$\phi = \frac{Q}{4\pi(a_2-a_1)} \cdot \log \frac{|y+a_2+\sqrt{(y+a_2)^2+r^2}| \cdot |y-a_2+\sqrt{(y-a_2)^2+r^2}|}{|y+a_1+\sqrt{(y+a_1)^2+r^2}| \cdot |y-a_1+\sqrt{(y-a_1)^2+r^2}|} - mREy + RER \quad \dots(1)$$

$$\Psi = \frac{Q}{4\pi(a_2-a_1)} \cdot \left\{ \sqrt{(y+a_2)^2+r^2} + \sqrt{(y-a_2)^2+r^2} - \sqrt{(y+a_1)^2+r^2} - \sqrt{(y-a_1)^2+r^2} \right\} - \frac{1}{2} mREr^2 \quad \dots(2)$$

ここで淡水注入量 Q は、式-1に $r=r_0, y=-(a_1+a_2)/2$ におひいて $\phi=R(\Delta H+R)$ の条件を与えると、

$$Q = \frac{4\pi(a_2-a_1)\{R\Delta H - mRE(a_2+a_1)/2\}}{\log \frac{(a_2-a_1)/2+\sqrt{(a_2-a_1)^2/4+r_0^2}}{(a_2-a_1)/2+\sqrt{(a_2-a_1)^2/4+r_0^2}} \cdot \frac{-(a_1+a_2)/2+\sqrt{(a_1+a_2)^2/4+r_0^2}}{-(a_1+a_2)/2+\sqrt{(a_1+a_2)^2/4+r_0^2}}} \quad \dots(3)$$

淡塩界面の下端Cは、漏れ点であることから $(\partial\phi/\partial y)_{r=0}=0$ とおくと

$$y_C = \frac{Q(a_2+a_1)}{2\pi mRE(y_C^2-a_1^2)} y_C + a_2 \quad \dots(4)$$

m の値は式-1から求めたC点の中の値 p 、海水^{飽和地盤}中の ϕ (=RE-R_{EY})と等しくならなければならぬことから

$$m = 1 - \frac{Q}{4\pi mRE y_C(a_2-a_1)} \cdot \log \frac{(y_C-a_1)(y_C+a_2)}{(y_C-a_1)(y_C+a_1)} \quad \dots(5)$$

また、流出線源の位置は、等ポテンシャル面の形状を考慮して、並列的に $a_1=b, a_2=d-r_0$ とする。

3. 非定常界面の算定

非定常時の淡塩界面に対する流れを、定常状態に達した後の、淡塩界面内部の同じ位置の流れに近似してみると考える。このようにすれば、定常状態の流線に沿って、淡塩界面が点 $[R_i(r_i/d), Y_i(y_i/d)]$ から点 (R_{i+1}, Y_{i+1}) に到達するのに要する無次元時間 T (= tR/d)は

$$T = \sum_{i=1}^n \frac{(Y_{i+1}-Y_i)^2 + (R_{i+1}-R_i)^2}{\Phi(R_i, Y_i) - \Phi(R_{i+1}, Y_{i+1})} \quad \dots(6)$$

空隙率を ϵ 、 $\epsilon/Rd=\epsilon$ とおき、式-6で与えられ、

各流線上の等時到達位置を結べば、その時刻の淡塩界面がえられる。なお y 軸上に沿う淡塩界面の到達時間は $Q/Rd^2 = Q_D, A/d = A$ とおき、式-7で書かれて、

$$T = \frac{1}{mE} \int \left\{ \frac{(A_1+A_2)Q_D Y}{2(Y^2-A_1^2) \cdot (Y^2-A_2^2) \epsilon \pi m + (A_1+A_2)Q_D Y} - 1 \right\} dY \quad \dots(7)$$

数値積分法によること求められる。

4. モデル実験結果との比較および算定結果による検討

図-2に示す扇形水槽を用ひ砂モデル実験を行なう。算定結果と比較すると図-3のようになる。定常状態の淡塩界面形状は、鉛直方向では一致するが、水平方向にかなりの相違がみられる。また非定常状態の界面を比

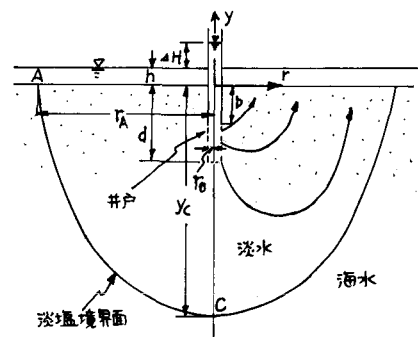


図-1 流れの場

較すると、初期に鉛直方向で算定結果がやや速く移動する。
約16分経過時まで全体的にほぼ一致する。しかし、その後は実験結果の水平方向の移動が時間とともに

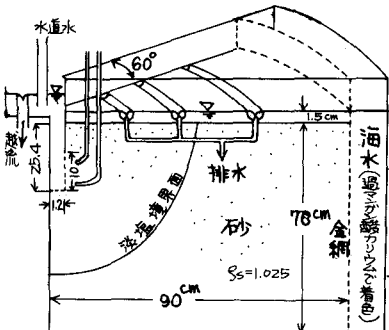


図-2 実験装置の概略図

に大きくなり、かなり大きな相違が表れてくる。したがって、淡水の押し下げ深さを重視すれば、本紙似解で実用上ある程度の算定が可能と考えられる。

次に y_c/d , r_A/d , Q/d^2 等の算定結果を図-4, 5 および図-6 に示す。図-4 より $\Delta H/d$, r_0/d の変化による淡塩境界面の大きさの変化は、あまり大きくならないなどわかる。また表より、井戸壁の淡水注入部の長さ $(d-b)/d$ を大きくすると、淡塩境界面の大きさは、多少偏向の要因はあるが、大きくなってしまう。しかし同時に淡水注入量も大きくなる。そこで一定注入量のもとで比較するために $(y_c/d)/(Q/d^2)$ を算出すると①/③の欄のようになり、注入部の長さが小さくなるほど大きくなる。したがって、より少ない淡水注入量で効果的に淡塩境界面を形成させるには、注入部の長さが短い方が有利であるといえよう。なお r_A/d の値には上述の誤差が含まれるが、参考までに淡塩境界面の縱横の長さの比を算出すると、②/①の欄のようになり、注入部の長さが大きいほど横方向に広がる傾向にはあるが、値の変化は小さく、ほぼ相似な形で形成されるものと推察される。

最後に、本研究は昭和50年度文部省科学研究費の補助を受けた。ここに記して関係各位に謝意を表す。

表-1 $\Delta H/d = 0.5$, $\epsilon = (S_s - S_f)/S_s = 0.025$

r_0/d	$(d-b)/d$	y_c/d : ①	r_A/d : ②	Q/d^2 : ③	$①/③$	$②/①$
0.02	0.2	1.88	1.51	0.25	7.42	0.80
	0.5	2.08	1.82	0.49	4.26	0.87
	0.8	2.15	1.95	0.72	2.98	0.90
0.1	0.2	2.40	2.14	0.67	3.55	0.89
	0.5	2.45	2.28	0.94	2.60	0.92
	0.8	2.50	2.35	1.32	1.90	0.94
0.2	0.21	2.89	2.71	1.40	2.07	0.94
	0.5	2.78	2.66	1.72	1.62	0.96
	0.8	2.78	2.67	2.08	1.34	0.96

参考文献) 1) 上田, 形尾: 淡水注入による淡塩境界面の解析

土木学会論文報告集, 第225号, PP.43~52, 1974年5月。2) 上田, 形尾;

淡水注入井戸による海水(飽和地盤中の淡塩境界面の近似解析), 第30回年講, II, PP.474~475, 1975年10月。 図-5

3) Muskat: The flow of homogeneous fluids through porous media, PP.270, McGraw-Hill Book Company, 1946年。

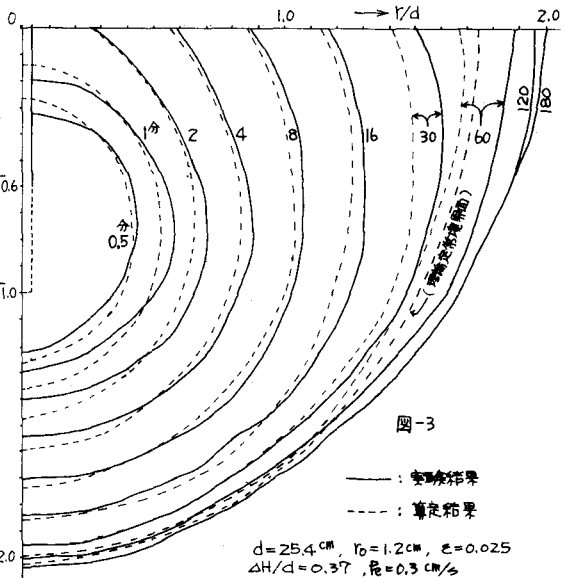


図-3

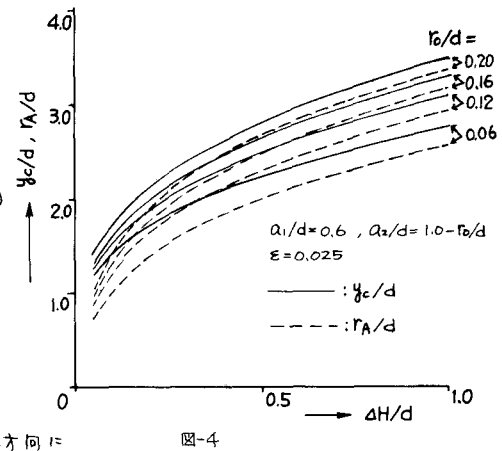


図-4

